

有限振幅波の性質について

○石田昌寿*
佐伯浩**
岸力***

1. 緒論

有限振幅波の中の Stokes 波に関する研究のほとんどが、第3近似の Stokes 波理論によるものであったが、Bretschneider や Skjelbreia によって、Stokes 波の第5次近似の式が出された。本論文では、その波のもつ諸性質(碎波限界・波形)と適用限界について検討を加えたものである。

2. 一般理論

Particle Velocity は次のような、ポテンシャル ϕ で表わされる。

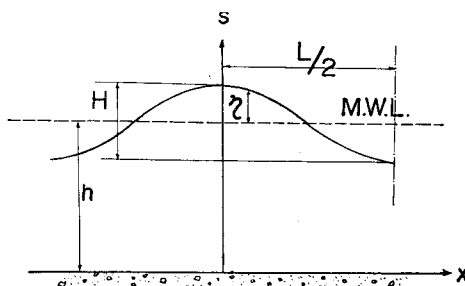


Fig. A Coordinate System

$$u = \frac{\partial \phi}{\partial x}, \quad v = \frac{\partial \phi}{\partial S} \quad (1)$$

$$\nabla^2 \phi = 0 \quad (2)$$

boundary condition は

$$\left. \frac{\partial \phi}{\partial S} \right|_{S=0} = 0 \quad (3)$$

表面 ($S=h+\eta$) での boundary condition は

$$v = u \frac{\partial \eta}{\partial x} + \frac{\partial \eta}{\partial t}, \quad P = 0 \quad (4)$$

particle velocity と圧力の間の関係は Bernoulli の式より (5) 式のようになる。

$$\frac{P}{\rho} + (u^2 + v^2) + 2 \frac{\partial \phi}{\partial t} = -2g(K + S - h) \quad (5)$$

$$\theta = \frac{2\pi}{L} \cdot (x - \bar{C}t) = \beta(x - \bar{C}t) \quad (6)$$

(1) (4) (5) (6) 式と $S = h + \eta$ の条件より、(7), (8) 式が導かれる。

$$\frac{\partial \eta}{\partial x} = \frac{-v}{\bar{C} - u} \quad (7)$$

$$(\bar{C} - u)^2 + v^2 = \bar{C}^2 - 2g(K + \eta) \quad (8)$$

(2), (3) の両式と対称性を満足する、ポテンシャル ϕ は (9) 式の如くである。

$$\begin{aligned} \frac{\partial \phi}{C} = & (\lambda A_{11} + \lambda^3 A_{13} + \lambda^5 A_{15}) \cosh \beta S \sin \theta \\ & + (\lambda^2 A_{22} + \lambda^4 A_{24}) \cosh 2\beta S \sin 2\theta \\ & + (\lambda^3 A_{33} + \lambda^5 A_{35}) \cosh 3\beta S \sin 3\theta \\ & + \lambda^4 \cdot A_{44} \cosh 4\beta S \sin 4\theta + \\ & \lambda^5 \cdot A_{55} \cosh 5\beta S \sin 5\theta \end{aligned} \quad (9)$$

また波形は次の (10) 式となる。

$$\begin{aligned} \beta \eta = & \lambda \cos \theta + (\lambda^2 B_{22} + \lambda^4 B_{24}) \cos 2\theta \\ & + (\lambda^3 B_{33} + \lambda^5 B_{35}) \cos 3\theta \\ & + \lambda^4 B_{44} \cos 4\theta + \lambda^5 B_{55} \cos 5\theta \end{aligned} \quad (10)$$

$$\beta \cdot K = \lambda^3 C_3 + \lambda^4 C_4 \quad (11)$$

$$\beta \bar{C}^2 = C_0^2 (1 + \lambda^2 C_1 + \lambda^4 C_2) \quad (12)$$

\bar{C} : 波速

$C_0^2 = g \tanh \beta h$

K : 常数

λ : 各々の波によって決まる常数に $(2\pi/L)$ を乗じたもの

$A_{11} \sim A_{25}, B_{22} \sim B_{55}, C_1 \sim C_4: \frac{h}{L}$ の関数 (この係数は、Skjelbreia と Hendrickson によって与えられている。)

* 北大工学部 土木工学科 大学院

** " " "

*** " " 教授

(10) 式より波高は次の(13)式で表わされる。

$$H = \eta|_{\theta=0} - \eta|_{\theta=\pi} \quad (13)$$

(10) 式と(13)式より

$$\frac{\pi H}{h} = \frac{1}{(h/L)} \cdot \left\{ \lambda + \lambda^3 B_{33} + \lambda^5 (B_{35} + B_{55}) \right\} \quad (14)$$

$L_0 = (gT^2)/2\pi$ と $C_0^2 = g \tanh(2\pi h/L)$ と(12)式より

$$\frac{h}{L_0} = \left(\frac{h}{L} \right) \cdot \tanh \beta h \cdot \left\{ 1 + \lambda^2 C_1 + \lambda^4 C_2 \right\} \quad (15)$$

3. 碎波限界

Stokes 波の第3近似解より求めた、碎波限界の式は、佐藤・浜田・岸・首藤等により、求められている。また、実験式として、浜田、Bretschneider のものもあるが、ここでは、第5近似の Stokes 波の碎波限界について調べた。

$u = \bar{C}$ という条件より求めると、(8), (11), (12)の式と、(10)式で $\theta=0$ (wave crest) とおいた、4つの式より、(16)(17)の式が得られる。

$$\frac{\beta}{g} \cdot \bar{C}^2 = \tanh \beta h \cdot \left\{ 1 + C_1 \lambda^2 + C_2 \lambda^4 \right\} \quad (16)$$

$$\begin{aligned} \frac{\beta}{g} \cdot (\bar{C} - u)^2 &= \left[(1 + C_1 \lambda^2 + C_2 \lambda^4) \cdot \tanh \beta h \right. \\ &\quad - 2(C_3 \lambda^2 + C_4 \lambda^4) - 2 \left\{ \lambda + B_{22} \lambda^2 + B_{33} \lambda^3 \right. \\ &\quad \left. \left. + (B_{24} + B_{44}) \lambda^4 + (B_{35} + B_{55}) \lambda^5 \right\} \right] \end{aligned} \quad (17)$$

(16)式の右辺を A , (17)式の右辺を D とすると、(17)式は(18)のように表わされる。

$$u = \sqrt{\frac{g}{\beta}} \cdot (\sqrt{A} - \sqrt{D}) \quad (18)$$

(16), (17), (18)の3式より、 (u/\bar{C}) は、(19)式となる。

$$\frac{u}{\bar{C}} = \frac{\sqrt{A} - \sqrt{D}}{\sqrt{A}} \quad (19)$$

条件により、 $u = \bar{C}$ であるから、(19)式から得られる、 λ の条件は(20)式である。

$$\begin{aligned} \sqrt{D} &= (\tanh \beta h) \cdot (1 + C_1 \lambda^2 + C_2 \lambda^4) - 2(C_3 \lambda^2 + C_4 \lambda^4) \\ &\quad - 2 \left\{ \lambda + B_{22} \lambda^2 + B_{33} \lambda^3 \right. \\ &\quad \left. + (B_{24} + B_{44}) \lambda^4 + (B_{35} + B_{55}) \lambda^5 \right\} = 0 \end{aligned} \quad (20)$$

(20)式を満足する λ が、碎波限界を与えるのである。

実際の計算操作は以下のようにした。

1) (h/L) を与えて、Skjelbreia と Hendrickson により求められた表より、 $C_1, C_2, C_3, C_4, B_{22}, B_{24}, B_{33}, B_{35}, B_{44}, B_{55}$ の係数を求めて、(20)式へ代入して、 λ の5次方程式として解き、与えられた (h/L) に対する、 λ の値を求める。

2) 求められた λ により、(14)式から (H/h) を計算して $(H/L) \times (h/L) = H/L$ より (H/L) を求める。求められた (h/L) と (H/L) の碎波点での関係を示したグラフが Fig. 1 である。

Fig. 1 からもわかるように、 $(h/L) \approx 0.114$ まで plot されている。これは (h/L) をこれより小さくすると、 (H/h) の値が急に振動するので、現実の波とは大きく異なるので、計算を中止したものである。これを、B.E.B. の実験値と比

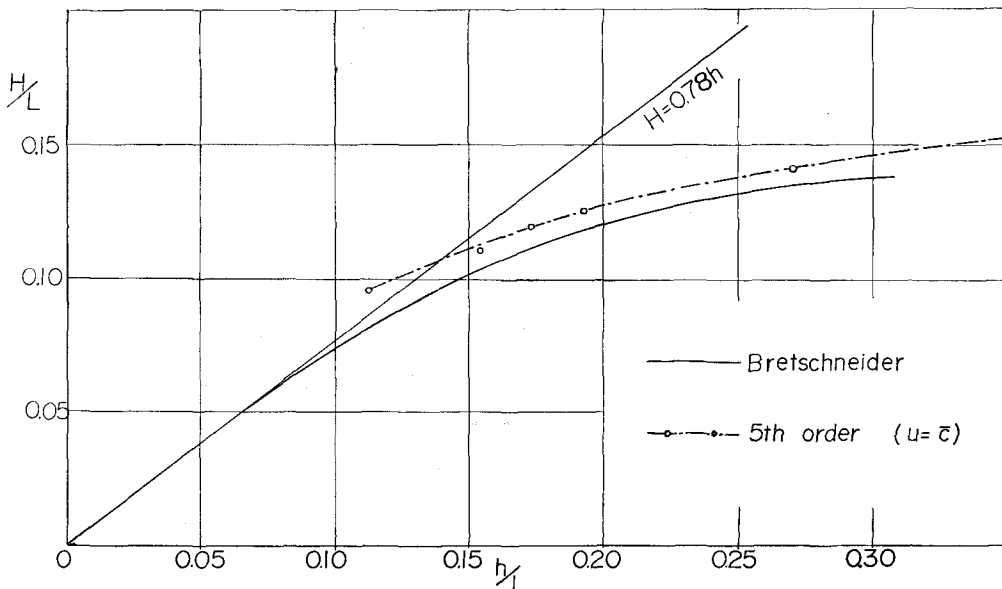


Fig. 1. H/L versus h/L for maximum waves

較すれば、計算値は実測値より一般に大きい。また $(h/L) < 0.135$ では、孤立波理論から求められた $(H/h) = 0.78$ より大きくなる。

4. 碎波時の (u/\bar{C}) の計算

$(u/\bar{C}) = 1$ という条件から、碎波時の (h/L) と (H/L) の関係を、3. で求めたが、実験値より (H/L) の値は大であった。そこで、Bretschneider が与えた、 (h/L) と (H/L) の実験曲線から、各 (h/L) に対する (H/L) を求めて、式(14)より碎波時の λ を計算した。その (h/L) と λ を(19)式に代入して、 (u/\bar{C}) を計算し、Fig. 2 の結果を得た。Fig. 2 からもわか

るように、 $(h/L) > 0.15$ の範囲では $(u/\bar{C}) \approx 0.75$ であるが、 $(h/L) < 0.15$ の範囲では、急激に減少する。

また、碎波時の、 (h/L) と λ の関係を求めたものが Fig. 3 である。実線が $(u/\bar{C}) = 1$ の条件の時、破線が Bretschneider の実験曲線から求めたものである。3. の $u = \bar{C}$ の条件のところでも述べたが、 $(h/L) < 0.114$ では λ の値が -11.20 と $+1.645$ の間を振動して、適切な値とみなされなかつたので、図には記していない。

この碎波時の λ の値も、碎波時の (u/\bar{C}) の値と同じく、 $(h/L) < 0.15$ から急に減少している。

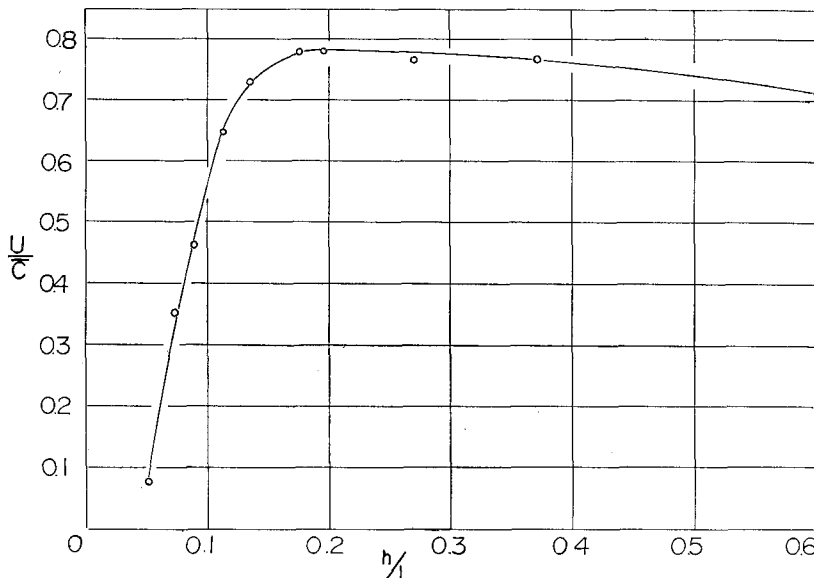


Fig. 2.

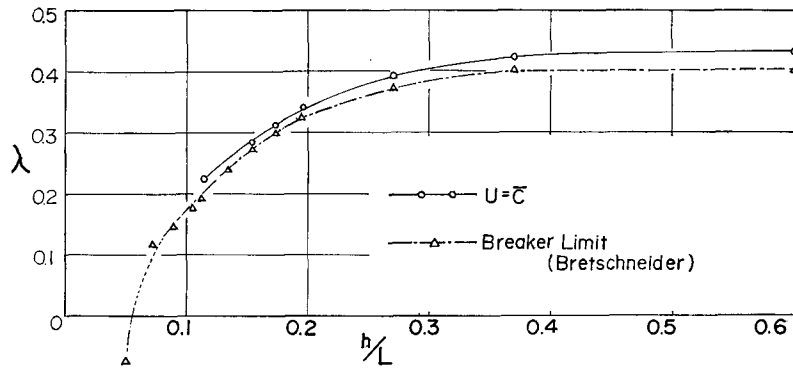


Fig. 3.

5. 波形

第5近似の Stokes 波の波形は、(10)式より(21)式の如く表わされる。

$$\frac{2\eta}{H} = \frac{1}{(H/L) \cdot \pi} \cdot \left\{ \lambda \cos \theta + (\lambda^2 B_{22} + B_{24} \lambda^4) \cos 2\theta + (B_{33} \lambda^3 + B_{35} \lambda^5) \cos 3\theta + B_{44} \lambda^4 \cos 4\theta + B_{55} \lambda^5 \cos 5\theta \right\} \quad (21)$$

ここで $\theta = \frac{2\pi}{L} (x - \bar{C}t)$

$(h/L)=0.125$, $(H/L)=0.0667$ の時に、第5近似の波形と、佐藤の求めた、第3近似の波形と、Laplace 波とを比較した図が、Fig. 4 であり、 $(h/L)=0.05$, $(H/L)=0.01$ の時は、Skjelbreia の第3近似式により、岩垣が計算したものと比較したもののが Fig. 5 である。

Fig. 4, Fig. 5 を見ると、まず第3近似式に比べて、波頂部が尖り、波谷部では扁平となっている。

Fig. 5 では、第3近似、第5近似の Stokes 波とも波谷に小山 (Inflection point) ができている。

Borgman および Chappelar は、Stokes-Struik 波の理

論を使って、波形勾配がある限度以上になると、inflection point ができる事を示し、その限界の条件を与えていた。Fig. 5 の場合はその限界の条件から、明らかに inflection point ができる条件を有していた。そこで第5近似の Stokes 波の理論波形から、その inflection point のできる限界を計算してみると、Borgman および Chappelar によって得られた限界とほとんど一致することがわかった。これは Stokes 波の理論を、ある水深より浅いところで拡張できない事を示し、Stokes 波の適用限界を決める手がかりとなるものである。この inflection point の限界は、Fig. 7 の中に破線で示されている。

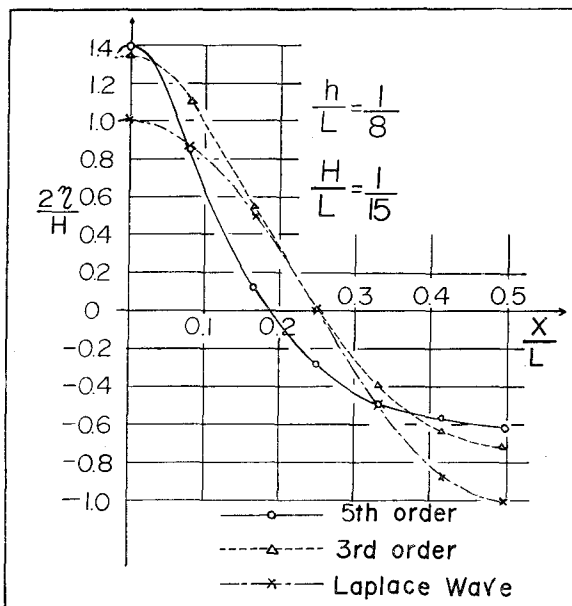


Fig. 4. Wave profile

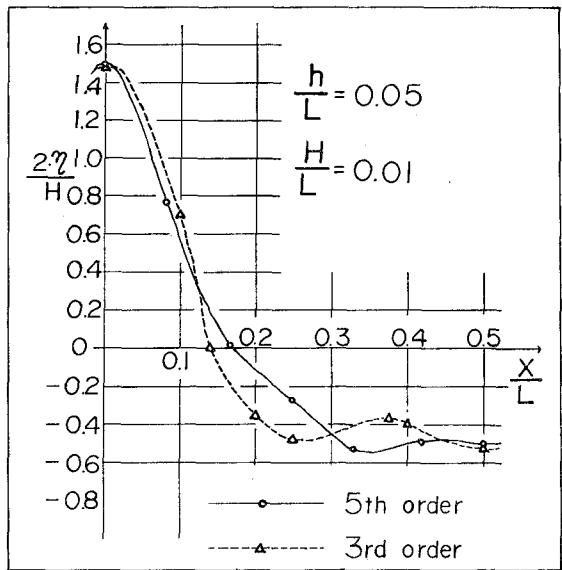


Fig. 5. Wave profile

6. 第5近似 Stokes 波の波頂高

ここでは、第5近似の Stokes 波の波頂高の計算を行ない、 $(h/L_0) \cdot (\eta_0/H) \cdot (H/L_0)$ の関係を図示した。このような関係は、Bretschneider も、 $(h/T^2) \cdot (\eta_0/H) \cdot (H/T^2)$ の関係で図示している。Bretschneider は、その中で、碎波限界を実験曲線 (Fig. 1 に示されている) を用いている。なお、 $(h/T^2) \cdot (\eta_0/H) \cdot (H/T^2)$ の関係は、B.E.B. での実験値と、Florida の Lake Okeechobee での実測から求められているので、資料の範囲は、ほぼ $0.02 < h/L_0 < 0.2$ であり、それ以外の範囲の部分は、外挿的に推定したものである。

計算方法は、ある (h/L) の値に対する碎波時の λ (最大値) は、3., 4. で求められているので、その λ より以下の任意の λ を与えて、(14), (15), (10) の 3 式より、 $(H/h) \cdot (h/L_0) \cdot \beta \eta_0$ を計算して、次の (22), (23) の関係より、 $(h/L_0) \cdot (H/L_0) \cdot (\eta_0/H)$ が求まり、その点を対数グラフにプロットして、 (H/L_0) の等値を結んで作ったものである。

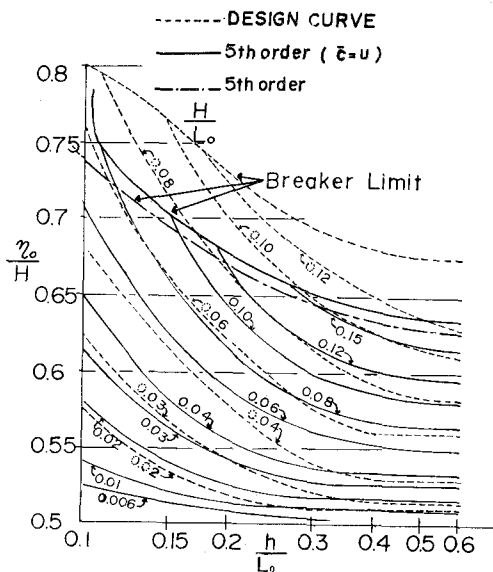


Fig. 6.

$$\left(\frac{H}{h}\right) \times \left(\frac{h}{L_0}\right) = \frac{H}{L_0} \quad (22)$$

$$\frac{\beta\eta_0}{2\pi \cdot (h/L) \cdot (H/h)} = \frac{\eta_0}{H} \quad (23)$$

Fig. 6 は、碎波限界を Bretschneider の実験曲線から求めたものである。破線は inflection point の limit を示しこれより上では、小山が波谷にできることを示している。

Fig. 7 は、実線が $u = \bar{C}$ から求めた碎波限界を示し、一点鎖線が Bretschneider の実験曲線より求めたものであ

る。点線で記入してあるのは、Bretschneider が示した design curve である。 $(H/L_0) \neq 0.03$ を境として、 $(H/L_0) > 0.03$ の部分では、Bretschneider による design curve の方が第5近似 Stokes 波で求めたものより大きくなっているが、 $(H/L_0) < 0.03$ ではその逆となっている。しかし (η_0/H) の比で表わしてあるので差が大きいようにあるが、 (h/T^2) を一定にして、 H と η_0 の関係と B.E.B. の実測値と比較してみると、ほとんど違っていない。

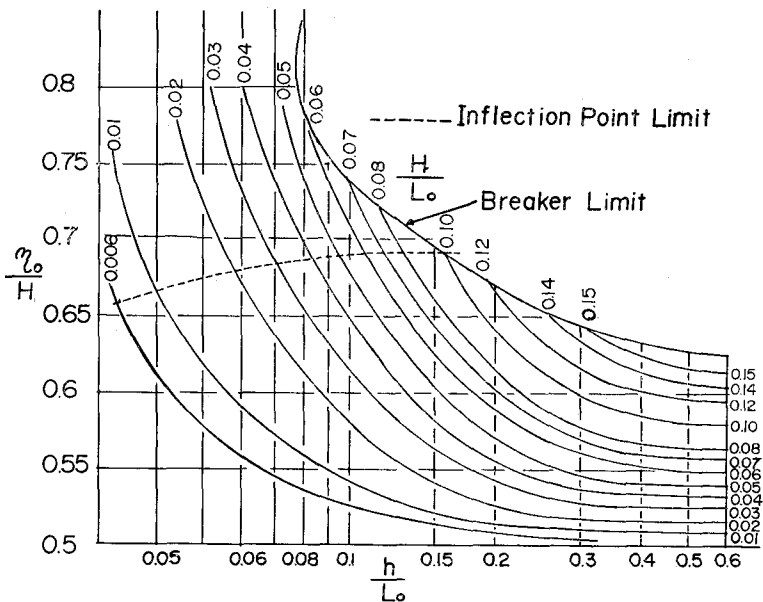


Fig. 7.

7. 第5近似 Stokes 波の適用限界

Stokes 波の適用限界としては、Keulegan によれば $(h/L) \geq \frac{1}{10}$ 、Laitone によれば $h/L > \frac{1}{8}$ 、Wilson-Webb-Hendrickson によれば $(h/L) > (\eta_0/L)^{\frac{1}{3}}$ である。

Fig. 8 は Wilson-Webb-Hendrickson によって作られた波形分類図である。これは $(\eta_0 L^2/h^3)$ によって分類している。 $(\eta_0 L^2/h^3) < 1$ つまり $(h/L) > (\eta_0/L)^{\frac{1}{3}}$ が第3近似 Stokes 波の適用限界となっている。第5近似 Stokes 波では Fig. 6 に示した、inflection point limit 以下が、適用限界となるので、これを $(\eta_0 L^2/h^3)$ で表わすと

$$(\eta_0 L^2/h^3) \leq 10 \quad (24)$$

のようになる。

これは inflection point limit 上の点を Fig. 6 よりとり(25)式により計算して求めたものである。

$$\frac{\eta_0 L^2}{h^3} = \left(\frac{\eta_0}{H}\right) \cdot \left(\frac{H}{L_0}\right) \cdot \left(\frac{L_0}{h}\right)^3 \cdot \left(\frac{L}{L_0}\right)^2 \quad (25)$$

ここで (L/L_0) の値は微小振幅波より求めた値を用いた。

(h/L) のみで、厳密に第5近似 Stokes 波の適用限界を求

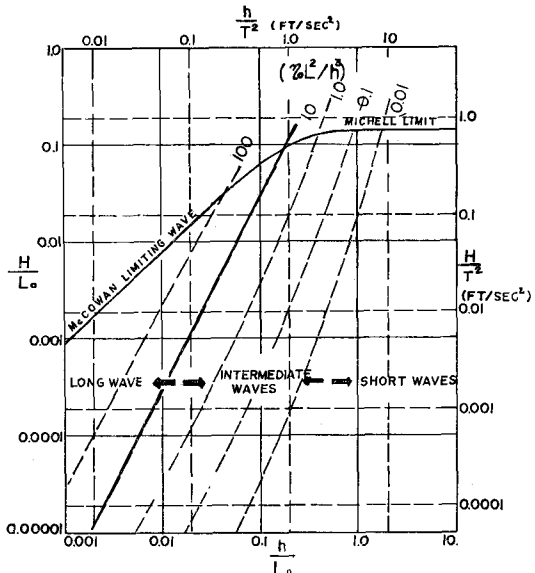


Fig. 8.

めると、(26)式のようになる。

$$\frac{h}{L} > 0.145 \quad (26)$$

8. 結論

1) 第5近似 Stokes 波理論では、 $u = \bar{C}$ の条件で求められた限界の λ の値を使うと $h/L < 0.114$ までしか計算できない。

2) 碎波限界を与える、 (h/L) と (H/L) の実験曲線は、 $(h/L) > 0.15$ では、 $(u/\bar{C}) \approx 0.75$ である。

3) 波形は第3近似 Stokes 波に較べて、波頂部で尖がり、波谷部では扁平である。

4) inflection point の限界は、Borgman および Chappelar が求めたものとほぼ同じであった。

5) 適用限界は $(\eta_0 L^2/h^3)$ で表わすと $(\eta_0 L^2/h^3) < 10$ となり、Wilson 等により得られたものより大きく、適用限界の範囲は広くなった。

6) 適用限界を (h/L) のみで表わすと、5)の場合より適用限界が狭くなり $(h/L) > 0.145$ となる。

参考文献

Bretschneider, C. L.: Selection of Design Wave for Offshore Structures, A.S.C.E. WW 2 (1958).

Skjelbreia, L. and Hendrickson, J. A.: Fifth order gravity wave theory, Proc. 7th Conf. on Coastal Eng. (1960).

岩垣雄一：京都大学防災研年報、No. 7 (1964).

Borgman, L. E. and Chappelar, J. E.: The use of the Stokes-Struik approximation for wave of finite height, Proc. 6th Conf. on Coastal Eng.

Wilson, B. W., Webb, L. M. and Hendrickson, J. A.: The nature of Tsunami, their generation and dispersion in Water of Finite Height depth, NESCO Tech Rept. No. SN 57-2 (1962).

岸 力：波動論、土木学会水工学シリーズ、64-5 (1964).

岸 力・佐伯 浩：海岸工学講演集 (1964).